

УДК 539.374.001.8.

**Д-р техн. наук В. В. Чигиринский, А. Ю. Матюхин***Запорожский национальный технический университет, г. Запорожье*

## ИССЛЕДОВАНИЕ НАПРЯЖЕННОГО СОСТОЯНИЯ ПРИ ОСАДКЕ ТЕЛ ВРАЩЕНИЯ В УСЛОВИЯХ ВНЕШНЕЙ РАДИАЛЬНОЙ НАГРУЗКИ

*Получено обобщенное уравнение равновесия для осесимметричной задачи в цилиндрических координатах, решение которого в аналитическом виде позволяет определить функцию касательных напряжений от координат очага деформации. Определены составляющие тензора напряжений для плоской осесимметричной задачи. Исследованы напряженное состояние толстостенной трубы при торцевой осадке с учетом радиального внешнего и внутреннего подпора. Показано влияние радиального подпора на распределение нормальных и касательных напряжений.*

**Ключевые слова:** напряжение, деформация, пластичность, прочность, радиальная нагрузка.

### Введение

Осадка полых тел вращения в осевом направлении используется для получения изделий различного назначения: бандажей, колец. Осадка в контейнерах используется для получения точных размеров заготовки по внешнему и внутреннему диаметру. В порошковой металлургии, в условиях неоднородного всестороннего сжатия, получают цилиндрические изделия в условиях внешнего и внутреннего подпора. Решение этой задачи имеет теоретическое и практическое значения.

Предлагаемая математическая модель напряженного состояния толстостенной трубы при осадке, учитывает контактное трение, фактор формы, с учетом внешнего и внутреннего подпора.

### Постановка задачи

Замкнутая постановка задачи в условиях плоской деформации для тел вращения имеет вид: уравнение равновесия:

$$\frac{\partial \sigma_r}{\partial r} + \frac{\partial \tau_{rz}}{\partial z} + \frac{\sigma_r - \sigma_\phi}{r} = 0; \quad \frac{\partial \tau_{zr}}{\partial r} + \frac{\partial \sigma_z}{\partial z} + \frac{\tau_{zr}}{r} = 0, \quad (1)$$

условие пластичности:

$$(\sigma_r - \sigma_z)^2 + 4\tau_{rz}^2 = 4k^2, \quad (2)$$

уравнение связи:

$$\frac{\sigma_r - \sigma_z}{2\tau_{rz}} = \frac{\xi_r - \xi_z}{\gamma_{rz}}, \quad (3)$$

условие несжимаемости:

$$\xi_r + \xi_z = 0, \quad (4)$$

уравнение неразрывности скоростей деформаций:

$$\frac{\partial^2 \xi_r}{\partial z^2} + \frac{\partial^2 \xi_z}{\partial r^2} = \frac{\partial^2 \gamma_{rz}}{\partial z \partial r}. \quad (5)$$

Граничные условия задаются в напряжениях, с учетом тригонометрического распределения напряжений на контакте, т. е.

$$\tau_n = -k \cdot \sin(A\Phi - 2\alpha), \quad (6)$$

где  $\sigma, \tau$  – нормальное и касательное напряжение;  $\tau_n$  – контактное касательное напряжение;  $\alpha$  – угол наклона площадки;  $k$  – сопротивление пластическому сдвигу;  $\Phi$  – функция координат  $r, z$ ;  $A$  – постоянная величина.

Выражения (3)...(5) не используются при решении задачи, но имеют место для обоснования схемы плоского течения.

### Решение задачи

В работе [1] представлено обобщенное уравнение равновесия, где определяющей функцией является касательное напряжение  $\tau_{rz}$

$$\frac{\partial^2 \tau_{rz}}{\partial r^2} - \frac{\partial^2 \tau_{rz}}{\partial z^2} + \frac{\partial}{\partial r} \left( \frac{\tau_{rz}}{r} \right) - \frac{\partial}{\partial z} \left( \pm \frac{1}{r} \sqrt{k^2 - \tau_{rz}^2} \right) = \pm 2 \frac{\partial^2}{\partial z \partial r} \left( \sqrt{k^2 - \tau_{rz}^2} \right). \quad (7)$$

Аналитическое решение последнего уравнения позволяет найти функциональную зависимость

касательного напряжения от координат очага деформации. Для удовлетворения граничных условий (6) имеем:

$$\tau_{\rho z} = k \cdot \sin A\Phi. \quad (8)$$

Такая подстановка позволяет линеаризовать уравнение. Используем фундаментальную зависимость в виде:

$$k = H_{\sigma} \exp \theta, \quad (9)$$

где  $H_{\sigma}$  – функция координат  $\rho, z$ ;  $\theta$  – показатель экспоненты, как функция, координат. Из (9) следует, что сопротивление пластической деформации является величиной переменной.

Касательное напряжение, которое удовлетворяет дифференциальное уравнение (7) имеет вид:

$$\tau_{\rho z} = \left( \frac{C_2}{\rho} + C_1 \rho \right) \cdot \exp \theta \sin A\Phi \quad (10)$$

при выполнении условия  $\theta_{\rho} = -A\Phi_z$ ;  $\theta_z = A\Phi_{\rho}$ .

Подставляя (10) в уравнение равновесия (1) и интегрируя, получим:

$$\sigma_{\rho} = \left( \frac{C_2}{\rho} + C_1 \rho \right) \exp \theta \cdot \cos A\Phi - 2C_1 \cdot I_1 + \sigma_0 + f(z) + C, \quad (11)$$

$$\sigma_z = - \left( \frac{C_2}{\rho} + C_1 \rho \right) \exp \theta \cdot \cos A\Phi - 2C_1 \cdot I_2 + \sigma_0 + f(\rho) + C. \quad (12)$$

### Интегралы

Можно показать, что  $I_1 = I_2$ . Равенство интегралов определяется особенностями гармонических функций. В выражениях (11), (12) имеет место постоянные  $C_1, C_2$ , которые можно определить из граничных условий.

### Анализ полученных результатов

Запишем граничные условия (рис. 1).

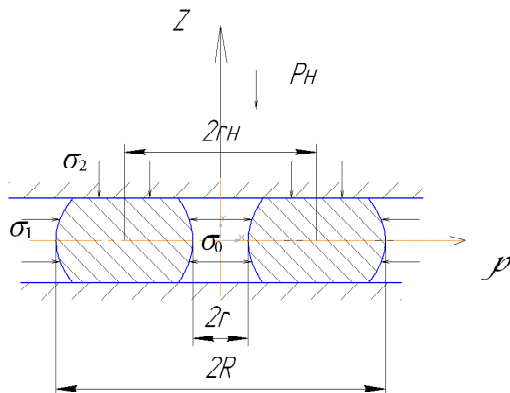


Рис. 1. Схема осадки толстостенной трубы

1. При  $\rho = r$ ,  $z = \frac{h}{2}$ ,  $\theta = \theta_0$ ,  $A\Phi = A\Phi_0$ ,

$$\sigma_{\rho} - \sigma_z = 2k_0 + \sigma_0 = 2k_0 \xi_0; \quad \xi_0 = 1 + \frac{\sigma_0}{2k_0}.$$

2. При  $\rho = R$ ,  $z = \frac{h}{2}$ ,  $\theta = \theta_1$ ,  $A\Phi = A\Phi_1$ ,

$$\sigma_z - \sigma_{\rho} = 2k_1 + \sigma_1 = 2k_1 \xi_1; \quad \xi_1 = 1 + \frac{\sigma_1}{2k_1}.$$

При подстановке предельных условий имеем систему уравнений:

$$2k_0 \xi_0 = 2 \left( C_1 \cdot r + \frac{C_2}{r} \right) \cdot \exp \theta_0 \cdot \cos A\Phi_0;$$

$$2k_1 \xi_1 = 2 \left( C_1 \cdot R + \frac{C_2}{R} \right) \cdot \exp \theta_1 \cdot \cos A\Phi_1,$$

где  $\xi_1, \xi_2$  – значения которые определяют величину подпора на внешнем и внутреннем диаметре.

Решая систему относительно  $C_1, C_2$ , имеем:

$$C_1 = \frac{1}{R^2 - r^2} \left[ R \frac{k_1 \cdot \xi_1}{\exp(\theta_1) \cdot \cos A\Phi_1} - r \frac{k_0 \cdot \xi_0}{\exp(\theta_0) \cdot \cos A\Phi_0} \right];$$

$$C_2 = \frac{R \cdot r}{R^2 - r^2} \left[ R \frac{k_0 \cdot \xi_0}{\exp(\theta_0) \cdot \cos A\Phi_0} - r \frac{k_1 \cdot \xi_1}{\exp(\theta_1) \cdot \cos A\Phi_1} \right].$$

Подставляя исходные выражения в (11), (12), получим:

$$\sigma_{\rho} = - \left[ \frac{R \cdot k_1 \cdot \xi_1 \cdot \left( \rho - \frac{r^2}{\rho} \right)}{\left( R^2 - r^2 \right) \cdot \cos A\Phi_1} \cdot \exp(\theta - \theta_1) - \frac{r \cdot k_0 \cdot \xi_0 \cdot \left( \rho - \frac{R^2}{\rho} \right)}{\left( R^2 - r^2 \right) \cdot \cos A\Phi_0} \cdot \exp(\theta - \theta_0) \right] \cdot \cos A\Phi + k_0, \quad (13)$$

$$\sigma_z = -3 \left[ \frac{R \cdot k_1 \cdot \xi_1 \cdot \left( \rho - \frac{r^2}{\rho} \right)}{\left( R^2 - r^2 \right) \cdot \cos A\Phi_1} \cdot \exp(\theta - \theta_1) - \frac{r \cdot k_0 \cdot \xi_0 \cdot \left( \rho - \frac{R^2}{\rho} \right)}{\left( R^2 - r^2 \right) \cdot \cos A\Phi_0} \cdot \exp(\theta - \theta_0) \right] \cdot \cos A\Phi + k_0, \quad (14)$$

$$\tau_{\rho z} = \left[ \frac{R \cdot k_1 \cdot \xi_1 \cdot \left( \rho - \frac{r^2}{\rho} \right)}{\left( R^2 - r^2 \right) \cdot \cos A\Phi_1} \cdot \exp(\theta - \theta_1) - \frac{r \cdot k_0 \cdot \xi_0 \cdot \left( \rho - \frac{R^2}{\rho} \right)}{\left( R^2 - r^2 \right) \cdot \cos A\Phi_0} \cdot \exp(\theta - \theta_1) \right] \cdot \sin A\Phi. \quad (15)$$

Из уравнения Лапласа, с учетом граничных и очевидных условий в зоне деформирования, определим функции  $\theta$  и  $A\Phi$ , которые связаны соотношениями Коши-Римана:

$$A\Phi = AA_1 z + AA_6 \cdot \rho \cdot z = -AA_6 \cdot z \cdot (\rho - r_n);$$

$$\theta = AA_6 \cdot \frac{\rho^2}{2} - AA_6 \cdot r_n \cdot \rho - AA_6 \cdot \frac{z^2}{2},$$

где  $r_n$  – радиус, который определяет положение нейтрального сечения.

С целью анализа выражений (13), (14) и (15) были проведены расчеты напряжения на контакте. Построены графики распределения напряжений на контакте, рис. 2–5. Из которых видно, что подпор существенным образом влияет на напряженное состояние толстостенной трубы при осадке. С увеличением коэффициента подпора  $\xi_0, \xi_1$  возрастает величина напряжения и характер распределения по длине ячейки деформации.

Используя выражение (13), можно определить усилие, которое оказывает металл при действии на боковую поверхность контейнера со стороны внешней и внутренней части трубы.

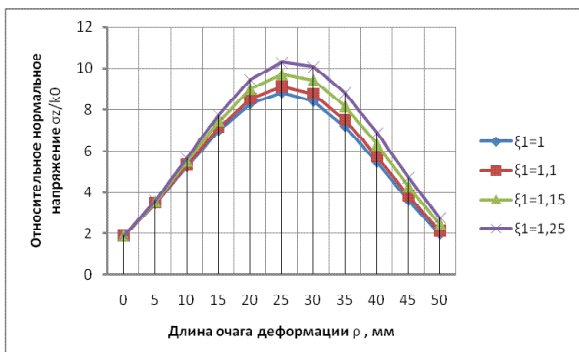


Рис. 2. Распределение относительного нормального напряжения при факторе формы  $S/h = 5$ ; коэффициенте трения  $f = 0,5$ ;  $\xi_1 = 11,25$ ;  $\xi_0 = 1$

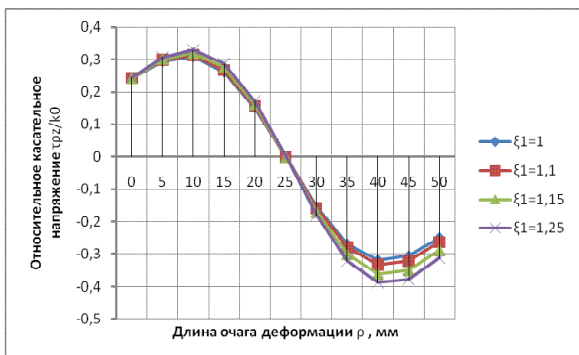


Рис. 3. Распределение относительного касательного напряжения при факторе формы  $S/h = 5$ ; коэффициенте трения  $f = 0,5$ ;  $\xi_1 = 11,25$ ;  $\xi_0 = 1$

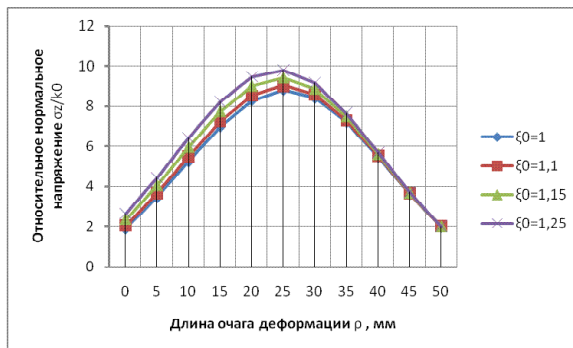


Рис. 4. Распределение относительного нормального напряжения при факторе формы  $S/h = 5$ ; коэффициенте трения  $f = 0,5$ ;  $\xi_1 = 1$ ;  $\xi_0 = 11,25$

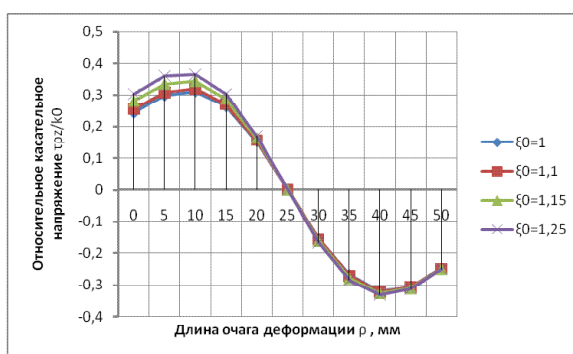


Рис. 5. Распределение относительного касательного напряжения при факторе формы  $S/h = 5$ ; коэффициенте трения  $f = 0,5$ ;  $\xi_1 = 1$ ;  $\xi_0 = 11,25$

( $S$  – толщина осаживаемой трубы).

Запишем граничные условия: наружная поверхность (рис. 1)

при  $\rho = R$ ;  $\sigma_\rho = \sigma_1$ ;  $f(z) = 0$ ;  $\xi_1 = 1$ .

При этом выражение (11):

$$\sigma_1 = -\frac{k_1}{\cos A\Phi_1} \exp\left[\frac{1}{2} AA_6 \left(\frac{h^2}{4} - z^2\right)\right] \times \cos AA_6 \cdot z(R - r_n), \quad (16)$$

где  $AA_6 = 2 \frac{A\Phi_0}{h(r_n - r)}$ ;  $A\Phi_0 = \arctg \cdot f(1 - f)$ ;

внутренняя поверхность:

при  $\rho = r$ ;  $z = \frac{h}{2}$ ;  $\sigma_\rho = \sigma_0$ ;  $A\Phi = A\Phi_0$ ;  $\theta = \theta_0$ ;

$f(z) = 0$ ;  $\xi_0 = 1$ , тогда:

$$\sigma_0 = \frac{k_0}{\cos A\Phi_0} \exp\left[AA_6 \frac{1}{2} \left(\frac{h^2}{4} - z^2\right)\right] \cos AA_6 \cdot z(r - r_n). \quad (17)$$

Для расчета по формулам (16) и (17) необходимо знать постоянную  $AA_6$  и значение нейт-

рального радиуса  $r_n$ . Воспользуемся граничными условиями на наружной и внутренней боковых поверхностях для касательных напряжений.

Запишем граничные условия:  
наружная поверхность:

$$\text{при } \rho = R; z = \frac{h}{2}; A\Phi = A\Phi_1; \theta = \theta_1; \tau_{\rho z} = k_1 \cdot \psi_1.$$

Подставим граничные условия в выражение (15):

$$k_1 \cdot \psi_1 = \frac{R \cdot k_1 \cdot \xi_1 (R^2 - r^2)}{R(R^2 - r^2) \cos A\Phi_1} \sin A\Phi_1.$$

После сокращений и упрощений имеем:

$$\psi_1 = \xi_1 \operatorname{tg} A\Phi_1 \text{ или } \frac{\psi_1}{\xi_1} = \operatorname{tg} A\Phi_1; A\Phi_1 = \operatorname{arctg} \frac{\psi_1}{\xi_1},$$

где  $\psi_1 = f(1-f)$ ;

внутренняя поверхность:

$$\text{при } \rho = r; z = \frac{h}{2}; A\Phi = A\Phi_0; \theta = \theta_0; \tau_{\rho z} = k_0 \cdot \psi_0.$$

Подставим граничные условия в выражение (15):

$$k_0 \cdot \psi_0 = -\frac{r \cdot k_0 \cdot \xi_0 (r^2 - R^2)}{r(R^2 - r^2) \cos A\Phi_0} \sin A\Phi_0.$$

После сокращений и упрощений имеем:

$$\psi_0 = \xi_0 \operatorname{tg} A\Phi_0 \text{ или } \frac{\psi_0}{\xi_0} = \operatorname{tg} A\Phi_0; A\Phi_0 = \operatorname{arctg} \frac{\psi_0}{\xi_0}.$$

Подставляя граничные условия на внешних и внутренних поверхностях с использованием выражения  $A\Phi$ , получим:

$$A\Phi_1 = -AA_6 \cdot \frac{h}{2} (R - r_n); -A\Phi_0 = -AA_6 \cdot \frac{h}{2} (r - r_n).$$

$$\text{Разделим одно на другое: } -\frac{A\Phi_1}{A\Phi_0} = \frac{R - r_n}{r - r_n}.$$

Определяем величину нейтрального радиуса  $r_n$ :

$$r_n = \frac{A\Phi_0 \cdot R + A\Phi_1 \cdot r}{A\Phi_1 + A\Phi_0}. \quad (18)$$

$$\text{Принимая: } A\Phi_0 \approx \frac{\psi_0}{\xi_0}; A\Phi_1 \approx \frac{\psi_1}{\xi_1},$$

и подставляя в (18), окончательно получим:

$$r_n = \frac{\psi_0 \cdot \xi_1 \cdot R + \psi_1 \cdot \xi_0 \cdot r}{\psi_1 \cdot \xi_0 + \psi_0 \cdot \xi_1}. \quad (19)$$

При  $\psi_0 = \psi_1$ , (19) имеет вид:

$$r_n = \frac{\xi_1 \cdot R + \xi_0 \cdot r}{\xi_0 + \xi_1}. \quad (20)$$

$$\text{При } \xi_0 = \xi_1: r_n = \frac{R+r}{2}. \quad (21)$$

В работах [1, 2]  $r_n$  принимался в соответствии с (21).

Из соотношений (19)(21) видно, что нейтральный радиус  $r_n$  определяется не только значениями наружного и внутреннего радиусов, но и величиной подпора  $\xi_1$  и  $\xi_0$  и условиями контактного трения на наружной и внутренней поверхностях  $\psi_1$  и  $\psi_0$ . На рис. 6, 7 показано распределение радиальных напряжений по высоте заготовки в зависимости от коэффициента трения  $f$  и фактора формы  $S/h$ .

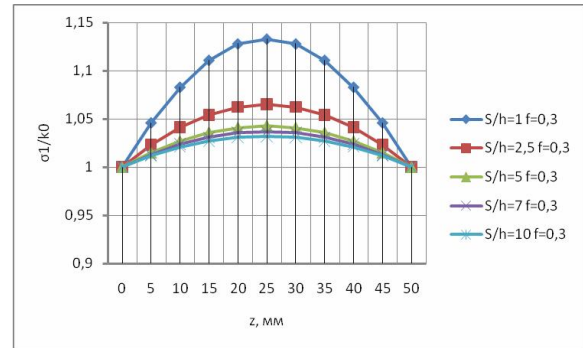


Рис. 6. Распределение контактных радиальных напряжений на наружной боковой поверхности при осадке толстостенной трубы, коэффициент трения  $f = 0,3$ , фактор формы 1...10

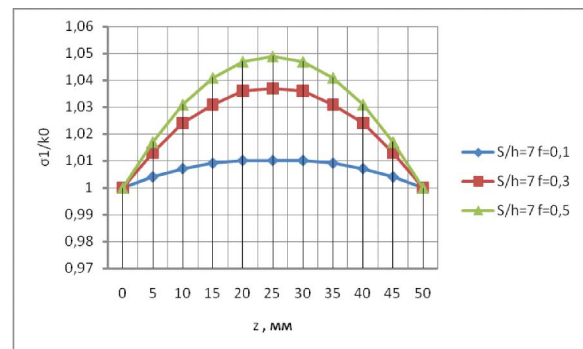


Рис. 7. Распределение контактных радиальных напряжений на наружной боковой поверхности при осадке толстостенной трубы, коэффициент трения  $f = 0,1...0,5$ , фактор формы 7

Напряжение подпора  $\sigma_1$  на внешней поверхности показывает, что они зависят от коэффициента трения (увеличивается с увеличением  $f$ ) и параметра  $S/h$ . Интерес представляет последний случай, т. к. с увеличением фактора формы величина  $\sigma_1$  уменьшается.

### Выводы

1. Поставлена и решена осесимметричная плоская задача теории пластичности в напряжениях.
2. Рассмотрена осевая осадка толстостенной трубы в условиях внешнего и внутреннего радиального подпора.
3. Получены аналитические зависимости для определения наружного радиального подпора. Построены графики.

### Список литературы

1. Плоская задача теории пластичности в цилиндрических координатах / [В. В. Чигиринский, О. М. Силенко, С. А. Силенко, А. Ю. Матюхин] // Прогрессивные технологии пластической деформации. – М. : МИСиС, 2009. – С. 345–351.
2. Чигиринський В. В. Розробка математичної моделі радіального тиску пластичного середовища при осадці полих тіл обертання / В. В. Чигиринський, А. Ю. Матюхін, В. В. Падалка // Вісник національного технічного університету України «Київський політехнічний інститут». – 2011. – С. 46–50.
3. Чигиринский В. В. Решение осесимметричной плоской задачи теории пластичности в напряжениях / В. В. Чигиринский, С. А. Силенко, А. Ю. Матюхин // Новые материалы и технологии в металлургии и машиностроении. – 2010. – № 1. – С. 121–125.
4. Сторожев М. В. Теория обработки металлов давлением / Сторожев М. В., Попов Э. А. – М. : Машиностроение, 1977. – 422 с.
5. Соколовский В. В. Теория пластичности / Соколовский В. В. – М. : Высшая школа, 1962. – 608 с.
6. Громов Н. П. Теория обработки металлов давлением / Громов Н. П. – М. : Металлургия, 1978. – 359 с.
7. Смирнов В. С. Теория прокатки / Смирнов В. С. – М. : Металлургия, 1967. – 460 с.
8. Тарновский И. Я. Течение металла при осадке толстостенных цилиндров / Тарновский И. Я., Поздеев А. А. // Сб. трудов Уральского политехн. ин-та. – 1958. – № 64. – С. 104–112.
9. Тарновский И. Я. Теория обработки металлов давлением / Тарновский И. Я., Поздеев А. А., Ганаго О. А. – М. : Металлургиздат, 1963. – 1963. – 673 с.

Поступила в редакцию 31.08.2011

### **Чигиринський В.В., Матюхін А.Ю. Дослідження напруженого стану при осаді тіл обертання в умовах зовнішнього радіального навантаження**

*Отримано узагальнене рівняння рівноваги для осесимметричної задачі в циліндричних координатах, рішення якого в аналітичному вигляді дозволяє визначити функцію дотичних напружень від координат вогнища деформації. Визначено складові тензора напруг для плоскої осесимметричної задачі. Дослідження напруженого стану товстостінної труби при торцевому осаджуванні з урахуванням радіального зовнішнього та внутрішнього підпору. Показано вплив радіального підпору на розподіл нормальних та дотичних напружень.*

**Ключові слова:** напруга, деформація, пластичність, міцність, радіальне навантаження.

### **Chygyrny'skiy V., Matyuhin A. Research of the stress state of upsetting of rotation in the conditions of external radial loading**

*The generalized equalization of equilibrium is got for an axis of symmetry task in cylindrical co-ordinates, the decision of which in an analytical kind allows to define the function of tangent tensions from the co-ordinates of hearth of deformation. The constituents of tensor of tensions are certain for a flat axis of symmetry task. Research of the tense state of the thick-walled pipe at the butt end sinking taking into account radial external and internal head. Influence of radial head is shown on distributing of normal and tangent tensions.*

**Key words:** stress, deformation, plasticity, strength, radial loading.